

## 超小型 高精度电压检测器

## S-808xxC 系列

S-808xxC 系列是使用 CMOS 技术开发的, 高精度电压检测 IC。检测电压在内部被固定, 精度为 $\pm 2.0\%$ 。在输出方式上备有 N 沟道开路漏极输出和 CMOS 输出。

## ■ 特点

- 超低消耗电流      1.3  $\mu\text{A}$  典型值(检测电压为典型值 1.4 V 以下的产品、 $V_{DD}=1.5\text{ V}$  时)  
0.8  $\mu\text{A}$  典型值(检测电压为典型值 1.5 V 以上的产品、 $V_{DD}=3.5\text{ V}$  时)
- 高精度检测电压     $\pm 2.0\%$
- 工作电压范围      0.65 V ~ 5.0 V (检测电压为典型值 1.4 V 以下的产品)  
0.95 V ~ 10.0 V (检测电压为典型值 1.5 V 以上的产品)
- 滞后特性            5% 典型值
- 检测电压            0.8 V ~ 6.0 V (进阶单位为 0.1 V)
- 输出方式            N 沟道开路漏极输出(动态 Low)  
CMOS 输出(动态 Low)
- 无铅产品

## ■ 用途

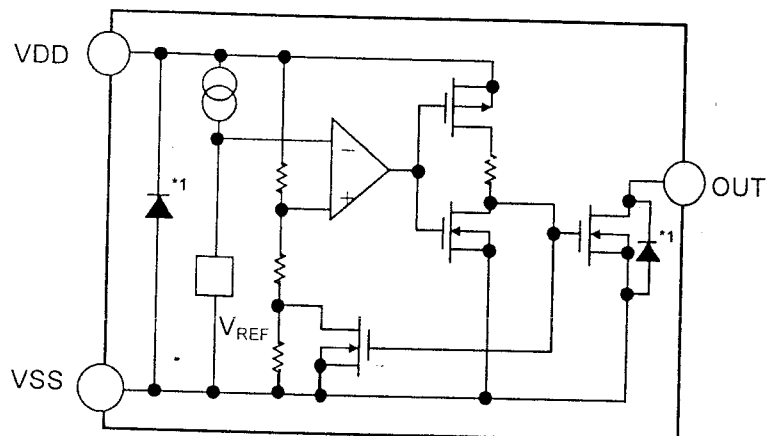
- 电池电压检测器
- 停电检测器
- 寻呼机、电子计算器、电子记事本、遥控器等携带设备电源的监视
- 照相机、视频设备、通信设备等稳压电源的监视
- 微机用电源的监视以及 CPU 的复位

## ■ 封装

封装名	图面号码			
	封装图面	卷带图面	带卷图面	折叠图面
SC-82AB	NP004-A	NP004-A	NP004-A	—
SOT-23-5	MP005-A	MP005-A	MP005-A	—
SOT-89-3	UP003-A	UP003-A	UP003-A	—
SNT-4A	PF004-A	PF004-A	PF004-A	—
TO-92 (散装)	YS003-B	—	—	—
TO-92 (卷带)	YF003-A	YF003-A	YF003-A	—
TO-92 (折叠)	YF003-A	YZ003-C	—	YZ003-C

■ 框图

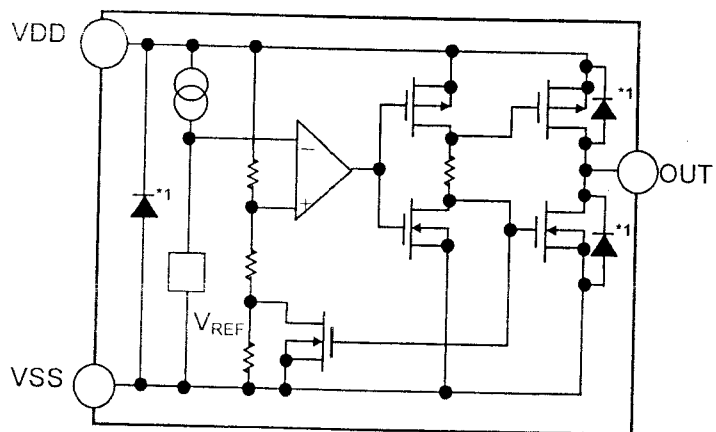
1. N沟道开路漏极输出产品



\*1. 寄生二极管

图 1

2. CMOS输出产品



\*1. 寄生二极管

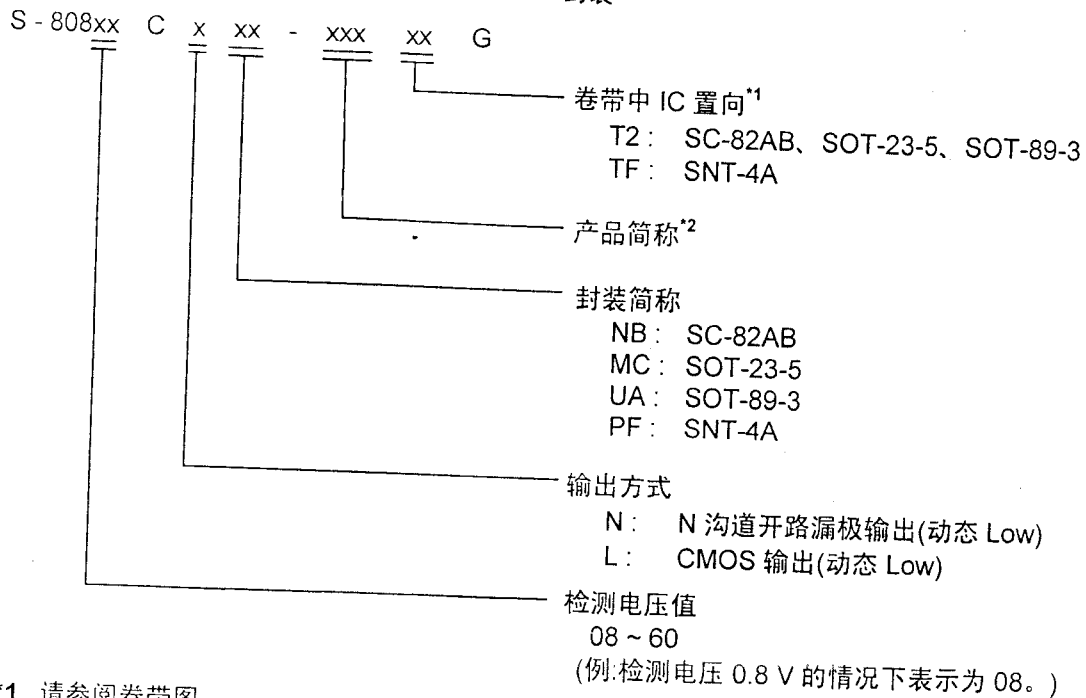
图 2

## ■ 产品型号的构成

- 关于 S-808xxC 系列，用户可根据用途选择指定产品的检测电压值、输出方式和封装类型。产品名的文字列含义请参阅“1. 产品名”、所有的产品名，请参阅“2. 产品名目录”。

### 1. 产品名

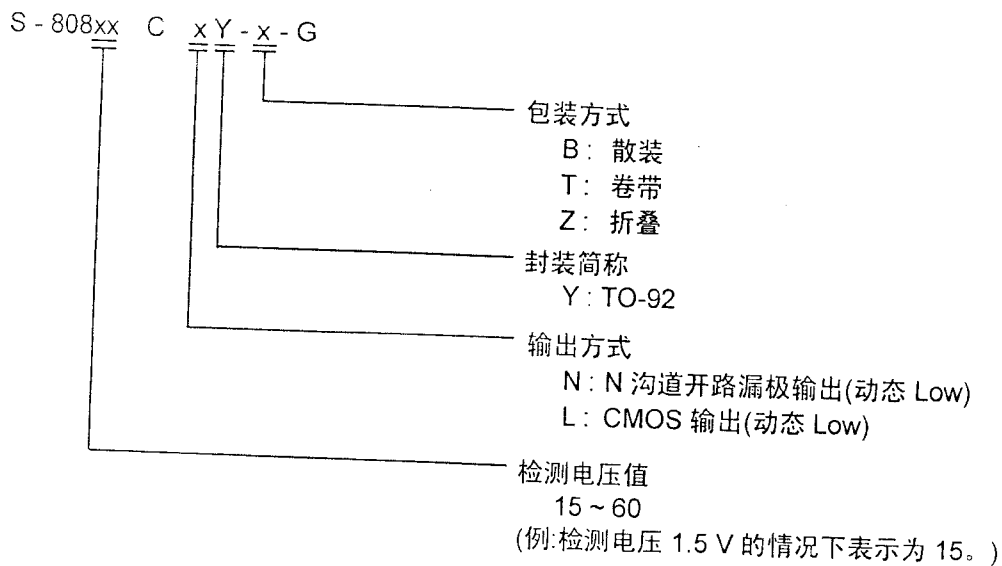
#### 1-1. SC-82AB、SOT-23-5、SOT-89-3、SNT-4A 封装



\*1. 请参阅卷带图。

\*2. 请参阅「2.产品名目录」的表 1、3。

#### 1-2. TO-92 封装



## ■ 输出方式的不同

### 1. S-808xxC系列的输出方式

表 5

	N 沟道开路漏极输出产品 (动态 Low)	CMOS 输出产品 (动态 Low)
S-808xxC 系列	产品名结尾为 N 例: S-80815CN	产品名结尾为 L 例: S-80815CL

### 2. 输出方式的不同与使用方法

表 6

使用方法	N 沟道开路漏极输出产品(动态 Low)	CMOS 输出产品 (动态 Low)
不同种类电源的使用	○	×
CPU 等的复位为动态 Low	○	○
CPU 等的复位为动态 High	×	×
电阻分割而引起的检测电压的改变	○	×

- 有 2 个电源情况下的例子
- 有 1 个电源情况下的例子

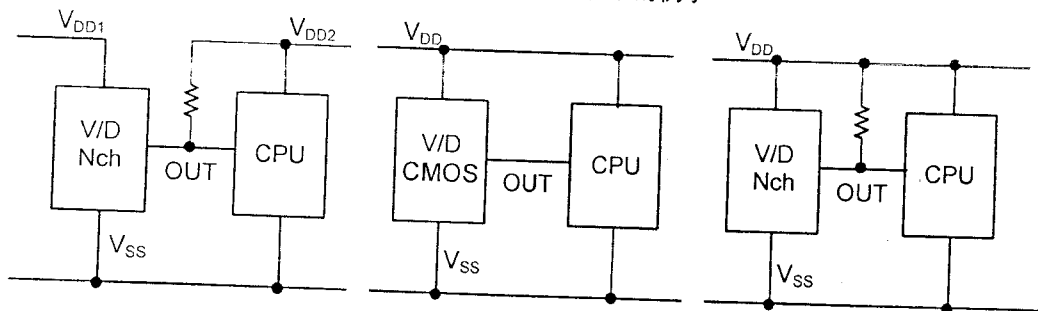


图 3

■ 引脚排列图

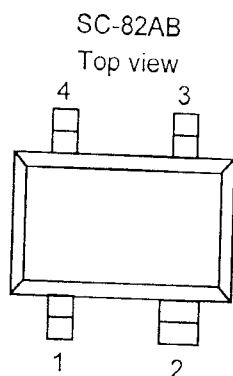


图 4

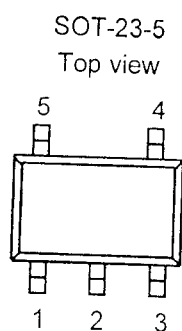


图 5

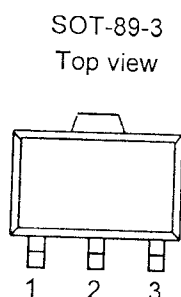


图 6

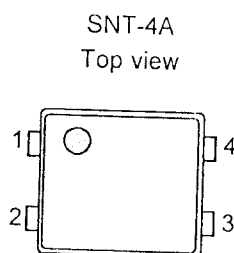


图 7

表 7

引脚号	符号	描述
1	OUT	电压检测输出端子
2	VDD	电压输入端子
3	NC <sup>*1</sup>	无连接
4	VSS	GND 端子

\*1. NC 表示从电气角度而言处于开路状态。  
所以, 与 VDD 以及 VSS 相接均可。

表 8

引脚号	符号	描述
1	OUT	电压检测输出端子
2	VDD	电压输入端子
3	VSS	GND 端子
4	NC <sup>*1</sup>	无连接
5	NC <sup>*1</sup>	无连接

\*1. NC 表示从电气角度而言处于开路状态。  
所以, 与 VDD 以及 VSS 相接均可。

表 9

引脚号	符号	描述
1	OUT	电压检测输出端子
2	VDD	电压输入端子
3	VSS	GND 端子

表 10

引脚号	符号	描述
1	OUT	电压检测输出端子
2	VSS	GND 端子
3	NC <sup>*1</sup>	无连接
4	VDD	电压输入端子

\*1. NC 表示从电气角度而言处于开路状态。  
所以, 与 VDD 以及 VSS 相接均可。

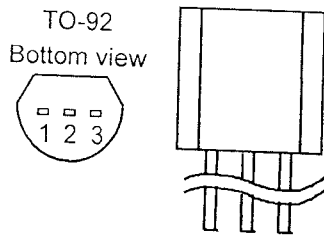


图 8

表 11

引脚号	符号	描述
1	OUT	电压检测输出端子
2	VDD	电压输入端子
3	VSS	GND 端子

## ■ 绝对最大额定值

### 1. 检测电压为典型值 1.4 V 以下的产品

表 12

(除特殊注明以外: Ta = 25 °C)			
项目	记号	绝对最大额定值	单位
电源电压	$V_{DD} - V_{SS}$	7	V
输出电压	N 沟道开路漏极输出产品	$V_{OUT}$	$V_{SS} - 0.3 \sim V_{SS} + 7$
	CMOS 输出产品		$V_{SS} - 0.3 \sim V_{DD} + 0.3$
输出电流	$I_{OUT}$	50	mA
容许功耗	SC-82AB	$P_D$	150
	SNT-4A		140
工作周围温度	$T_{opr}$	-40 ~ +85	°C
保存温度	$T_{stg}$	-40 ~ +125	°C

注意 绝对最大额定值是指无论在任何条件下都不能超过的额定值。万一超过此额定值, 有可能造成产品劣化等物理性损伤。

### 2. 检测电压为典型值 1.5 V 以上的产品

表 13

(除特殊注明以外: Ta = 25 °C)			
项目	记号	绝对最大额定值	单位
电源电压	$V_{DD} - V_{SS}$	12	V
输出电压	N 沟道开路漏极输出产品	$V_{OUT}$	$V_{SS} - 0.3 \sim V_{SS} + 12$
	CMOS 输出产品		$V_{SS} - 0.3 \sim V_{DD} + 0.3$
输出电流	$I_{OUT}$	50	mA
容许功耗	SC-82AB	$P_D$	150
	SOT-23-5		250
	SOT-89-3		500
	SNT-4A		140
	TO-92		400
工作周围温度	$T_{opr}$	-40 ~ +85	°C
保存温度	$T_{stg}$	-40 ~ +125	°C

注意 绝对最大额定值是指无论在任何条件下都不能超过的额定值。万一超过此额定值, 有可能造成产品劣化等物理性损伤。

## ■ 电气特性

### 1. N 沟道开路漏极输出产品

#### 1-1. 检测电压为典型值 1.4 V 以下的产品

表 14

(除特殊注明以外: Ta = 25 °C)							
项目	记号	条件	最小值	典型值	最大值	单位	测定电路
检测电压 <sup>*1</sup>	-V <sub>DET</sub>	—	-V <sub>DET(S)</sub> ×0.98	-V <sub>DET(S)</sub>	-V <sub>DET(S)</sub> ×1.02	V	1
解除电压	+V <sub>DET</sub>	S-80808	0.802	0.834	0.867	V	1
		S-80809	0.910	0.944	0.979	V	1
		S-80810	1.017	1.054	1.091	V	1
		S-80811	1.125	1.164	1.203	V	1
		S-80812	1.232	1.273	1.315	V	1
		S-80813	1.340	1.383	1.427	V	1
		S-80814	1.448	1.493	1.538	V	1
滞后幅度	V <sub>HYS</sub>	S-80808	0.018	0.034	0.051	V	1
		S-80809	0.028	0.044	0.061	V	1
		S-80810	0.037	0.054	0.071	V	1
		S-80811	0.047	0.064	0.081	V	1
		S-80812	0.056	0.073	0.091	V	1
		S-80813	0.066	0.083	0.101	V	1
		S-80814	0.076	0.093	0.110	V	1
消耗电流	I <sub>SS</sub>	V <sub>DD</sub> = 1.5 V S-80808 ~ 09	—	1.3	3.5	μA	2
		V <sub>DD</sub> = 2.0 V S-80810 ~ 14	—	1.3	3.5	μA	2
工作电压	V <sub>DD</sub>	—	0.65	—	5.0	V	1
输出电流	I <sub>OUT</sub>	输出晶体管, N 沟道, V <sub>DS</sub> = 0.5 V, V <sub>DD</sub> = 0.7 V	0.04	0.2	—	mA	3
泄漏电流	I <sub>LEAK</sub>	输出晶体管, N 沟道, V <sub>DS</sub> = 5.0 V, V <sub>DD</sub> = 5.0 V	—	—	60	nA	3
响应时间	t <sub>PLH</sub>	—	—	—	60	μs	1
检测电压的 温度系数 <sup>*2</sup>	$\frac{\Delta - V_{DET}}{\Delta Ta \bullet -V_{DET}}$	Ta = -40 ~ +85 °C	—	±100	±350	ppm/°C	1

\*1. -V<sub>DET</sub>: 实际检测电压值、-V<sub>DET(S)</sub>: 设定检测电压值 (表 1~2 的检测电压范围的中心值)

\*2. 检测电压的温度变化率[mV/°C]按如下公式计算出来。

$$\frac{\Delta - V_{DET}}{\Delta Ta} [mV/°C]^{*1} = -V_{DET(S)}(Typ.) [V]^{*2} \times \frac{\Delta - V_{DET}}{\Delta Ta \bullet -V_{DET}} [ppm/°C]^{*3} \div 1000$$

\*1. 检测电压的温度变化率

\*2. 设定检测电压值

\*3. 上述的检测电压温度系数





## 2. CMOS 输出产品

### 2-1. 检测电压为典型值 1.4 V 以下的产品

表 16

(除特殊注明以外: Ta = 25 °C)							
项目	记号	条件	最小值	典型值	最大值	单位	测定电路
检测电压 <sup>*1</sup>	-V <sub>DET</sub>	—	-V <sub>DET(S)</sub> ×0.98	-V <sub>DET(S)</sub>	-V <sub>DET(S)</sub> ×1.02	V	1
解除电压	+V <sub>DET</sub>	S-80808	0.802	0.834	0.867	V	1
		S-80809	0.910	0.944	0.979	V	1
		S-80810	1.017	1.054	1.091	V	1
		S-80811	1.125	1.164	1.203	V	1
		S-80812	1.232	1.273	1.315	V	1
		S-80813	1.340	1.383	1.427	V	1
		S-80814	1.448	1.493	1.538	V	1
		S-80808	0.018	0.034	0.051	V	1
滞后幅度	V <sub>HYS</sub>	S-80809	0.028	0.044	0.061	V	1
		S-80810	0.037	0.054	0.071	V	1
		S-80811	0.047	0.064	0.081	V	1
		S-80812	0.056	0.073	0.091	V	1
		S-80813	0.066	0.083	0.101	V	1
		S-80814	0.076	0.093	0.110	V	1
		V <sub>DD</sub> = 1.5 V	S-80808 ~ 09	—	1.3	I <sub>SS</sub>	μA
		V <sub>DD</sub> = 2.0 V	S-80810 ~ 14	—	1.3	I <sub>SS</sub>	μA
消耗电流	I <sub>SS</sub>	—	0.65	—	5.0	V	1
工作电压	V <sub>DD</sub>	—	—	—	—	—	—
输出电流	I <sub>OUT</sub>	输出晶体管, N 沟道, V <sub>DS</sub> = 0.5 V, V <sub>DD</sub> = 0.7 V	0.04	0.2	—	mA	3
		输出晶体管, P 沟道, V <sub>DS</sub> = 2.1V, V <sub>DD</sub> = 4.5V	2.9	5.8	—	mA	4
响应时间	t <sub>PLH</sub>	—	—	—	60	μs	1
检测电压的 温度系数 <sup>*2</sup>	$\frac{\Delta - V_{DET}}{\Delta Ta \cdot -V_{DET}}$	Ta = -40 ~ +85 °C	—	±100	±350	ppm/°C	1

\*1. -V<sub>DET</sub>: 实际检测电压值、-V<sub>DET(S)</sub>: 设定检测电压值 (表 3~4 的检测电压范围的中心值)  
\*2. 检测电压的温度变化率[mV/°C]按如下公式计算出来。

$$\frac{\Delta - V_{DET}}{\Delta Ta} [mV/°C]^{*1} = -V_{DET(S)}(Typ.) [V]^{*2} \times \frac{\Delta - V_{DET}}{\Delta Ta \cdot -V_{DET}} [ppm/°C]^{*3} \div 1000$$

- \*1. 检测电压的温度变化率
- \*2. 设定检测电压值
- \*3. 上述的检测电压温度系数

## 2-2. 检测电压为典型值 1.5 V 以上的产品

表 17

(除特殊注明以外: Ta = 25 °C)

(除特殊注明以外: Ta = 25℃)

项目	记号	条件		最小值	典型值	最大值	单位	测定电路
检测电压 <sup>*1</sup>	-V <sub>DET</sub>	—		-V <sub>DET(S)</sub> ×0.98	-V <sub>DET(S)</sub>	-V <sub>DET(S)</sub> ×1.02	V	1
滞后幅度	V <sub>HYS</sub>	—		-V <sub>DET</sub> ×0.03	-V <sub>DET</sub> ×0.05	-V <sub>DET</sub> ×0.08	V	1
消耗电流	I <sub>SS</sub>	V <sub>DD</sub> = 3.5 V	S-80815 ~ 26	—	0.8	2.4	μA	2
		V <sub>DD</sub> = 4.5 V	S-80827 ~ 39	—	0.8	2.4	μA	2
		V <sub>DD</sub> = 6.0 V	S-80840 ~ 56	—	0.9	2.7	μA	2
		V <sub>DD</sub> = 7.5 V	S-80857 ~ 60	—	0.9	2.7	μA	2
工作电压	V <sub>DD</sub>	—		0.95	—	10.0	V	1
输出电流	I <sub>OUT</sub>	输出晶体管, N 沟道, V <sub>DS</sub> = 0.5 V	V <sub>DD</sub> = 1.2 V S-80815 ~ 60	0.59	1.36	—	mA	3
			V <sub>DD</sub> = 2.4 V S-80827 ~ 60	2.88	4.98	—	mA	3
		输出晶体管, P 沟道, V <sub>DS</sub> = 0.5 V	V <sub>DD</sub> = 4.8 V S-80815 ~ 39	1.43	2.39	—	mA	4
			V <sub>DD</sub> = 6.0 V S-80840 ~ 56	1.68	2.78	—	mA	4
			V <sub>DD</sub> = 8.4 V S-80857 ~ 60	2.08	3.42	—	mA	4
			—	—	—	—	—	—
响应时间	t <sub>PLH</sub>	—		—	—	60	μs	1
检测电压的温度系数 <sup>*2</sup>	$\frac{\Delta - V_{DET}}{\Delta Ta \bullet -V_{DET}}$	Ta = -40 ~ +85℃		—	±100	±350	ppm/℃	1

<sup>\*1</sup> V<sub>DET</sub> : 实际检测电压值  
<sup>\*2</sup> ΔV<sub>DET</sub> : 检测电压的变动量

\*1.  $-V_{DET}$ : 实际检测电压值、 $-V_{DET(S)}$ : 设定检测电压值 (表 3~4 的检测电压范围的中心值)

\*2. 检测电压的温度变化率[mV/°C]按如下公式计算出来。

$$\frac{\Delta - V_{DET}}{\Delta T_a} [\text{mV}/^\circ\text{C}]^{*1} = -V_{DET(S)}(\text{Typ.}) [\text{V}]^{*2} \times \frac{\Delta - V_{DET}}{\Delta T_a \bullet -V_{DET}} [\text{ppm}/^\circ\text{C}]^{*3} \div 1000$$

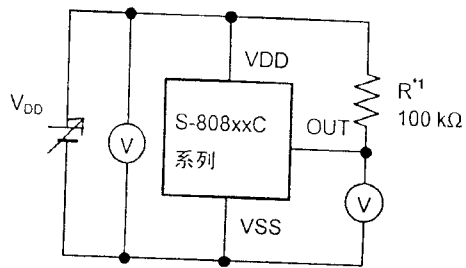
\*1. 检测电压的温度变化率

\*2. 设定检测电压值

\*3. 上述的检测电压温度系数

■ 测定电路图

1.



\*1. CMOS 输出产品的情况下不需要 R。

图 9

2.

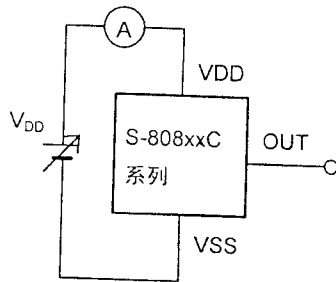


图 10

3.

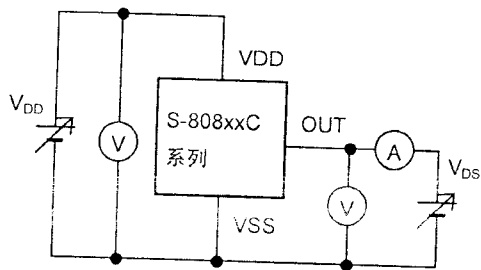


图 11

4.

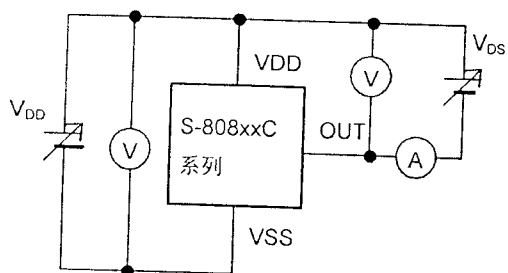


图 12

## ■ 工作时序图

### 1. N沟道开路漏极输出产品

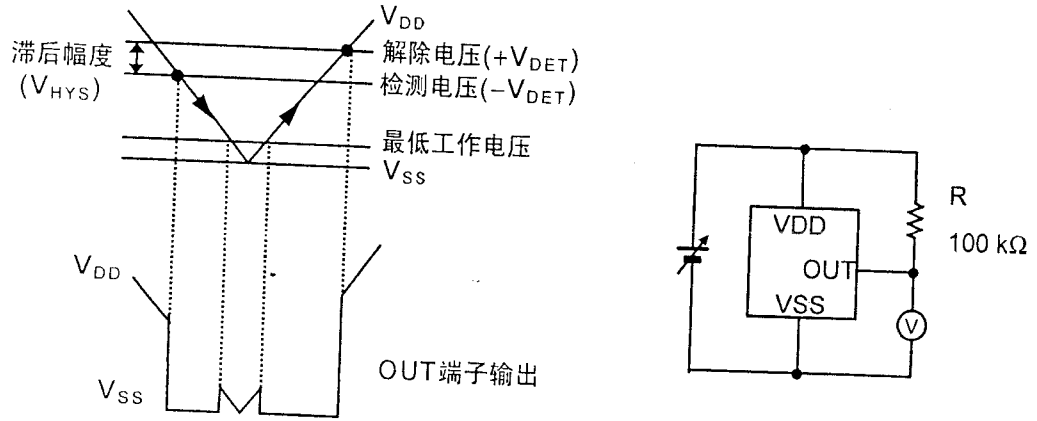
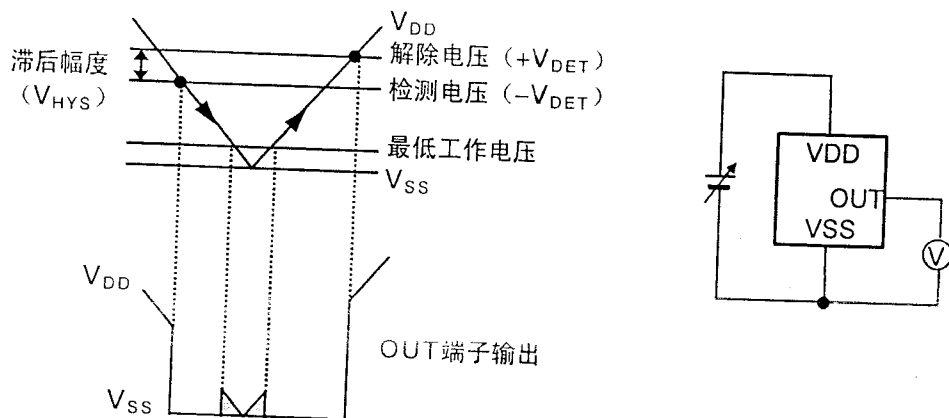


图 13

### 2. CMOS 输出产品



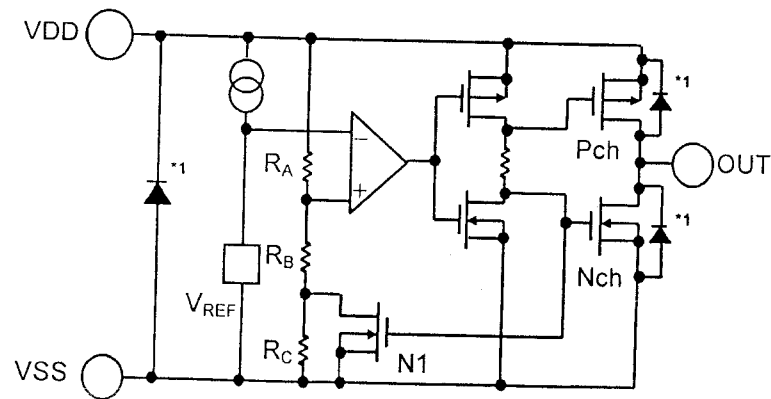
备注  $V_{DD}$  在最低工作电压以下时, OUT 输出端子输出电压在阴影范围内为不稳定状态。

图 14

## ■ 工作说明

### 1. 基本工作: CMOS输出(动态Low)的情况下

- 1-1. 电源电压( $V_{DD}$ )在解除电压( $+V_{DET}$ )以上时, N沟道晶体管变为OFF, P沟道晶体管变为ON,  $V_{DD}$ 被输出(High被输出)。此时, 图15的N沟道晶体管N1为OFF状态, 往比较器输入的输入电压变为  $\frac{(R_B + R_C) \cdot V_{DD}}{R_A + R_B + R_C}$ 。
- 1-2.  $V_{DD}$ 即使降低到 $+V_{DET}$ 以下, 只要在检测电压( $-V_{DET}$ )以上 $V_{DD}$ 也能被输出。 $V_{DD}$ 变为 $-V_{DET}$  (图16的A点)以下时, 输出方的N沟道晶体管变为ON, P沟道晶体管变为OFF,  $V_{SS}$ 被输出。此时, 图15的N沟道晶体管N1变为ON状态, 往比较器输入的输入电压变为  $\frac{R_B \cdot V_{DD}}{R_A + R_B}$ 。
- 1-3.  $V_{DD}$ 进一步下降, 若处在IC的最低工作电压以下就会导致输出的不稳定, 在输出被上拉的情况下, 输出变为 $V_{DD}$ 。
- 1-4. 使 $V_{DD}$ 上升到最低工作电压以上时,  $V_{SS}$ 被输出。另外, 即使 $V_{DD}$ 超过了 $-V_{DET}$ , 在不足 $+V_{DET}$ 的情况下输出变为 $V_{SS}$ 。
- 1-5. 再继续使 $V_{DD}$ 上升, 到 $+V_{DET}$  (图16的B点) 以上时, N沟道晶体管变为OFF, P沟道晶体管变为ON,  $V_{DD}$ 被输出。



\*1. 寄生二极管

图15 工作说明图1

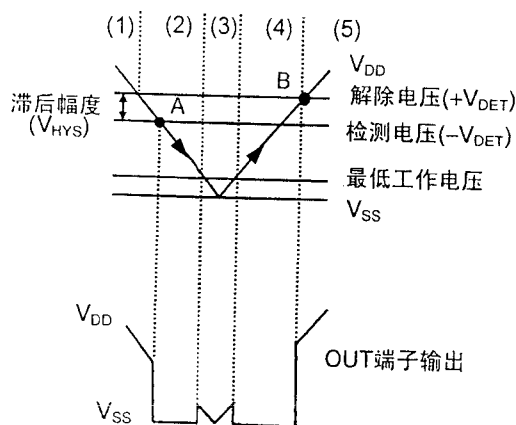
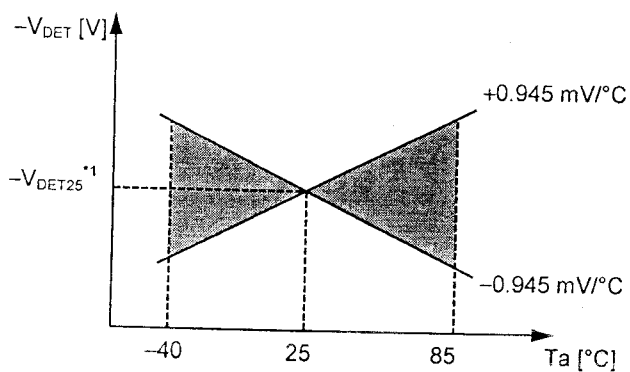


图16 工作说明图2

## 2. 其他特性

### 2-1. 检测电压的温度特性

检测电压的温度特性在工作温度范围内，如图 17 所示的阴影范围。



\*1.  $-V_{DET25}$  为在 25°C 时的检测电压值

图17 检测电压的温度特性 (S-80827C 的示例)

### 2-2. 解除电压的温度特性

解除电压的温度系数  $\frac{\Delta + V_{DET}}{\Delta T_a}$  是利用检测电压的温度系数  $\frac{\Delta - V_{DET}}{\Delta T_a}$ ，如下式所示。

$$\frac{\Delta + V_{DET}}{\Delta T_a} = \frac{+V_{DET}}{-V_{DET}} \times \frac{\Delta - V_{DET}}{\Delta T_a}$$

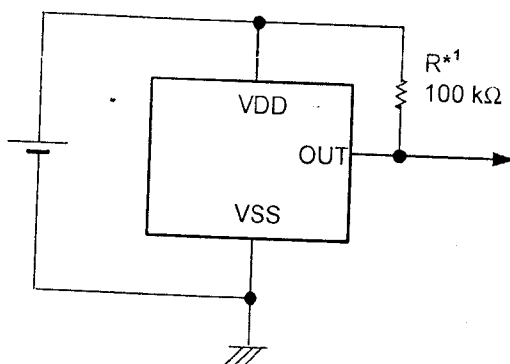
因此，解除电压的温度系数和检测电压的温度系数具有相同符号的特性。

### 2-3. 滞后电压的温度特性

滞后电压的温度系数为  $\frac{\Delta + V_{DET}}{\Delta T_a} - \frac{\Delta - V_{DET}}{\Delta T_a}$ ，如下式所示。

$$\frac{\Delta + V_{DET}}{\Delta T_a} - \frac{\Delta - V_{DET}}{\Delta T_a} = \frac{V_{HYS}}{-V_{DET}} \times \frac{\Delta - V_{DET}}{\Delta T_a}$$

### ■ 标准电路



\*1. CMOS 输出产品的情况下不需要 R。

图 18

注意 上述连接图以及参数并不保证工作。实际的应用电路请在进行充分的评价基础上再设定参数。

### ■ 用语说明

#### 1. 检测电压( $-V_{DET}$ )、解除电压( $+V_{DET}$ )

检测电压( $-V_{DET}$ )表示输出切换到Low时的电压。此检测电压，即使是同样的产品也有不同程度的差异，由此差异而引起的检测电压的最小值( $-V_{DET}$ )Min.到最大值( $-V_{DET}$ )Max.的范围称为检测电压范围(参阅图19)。

例: S-80815CN的情况下，检测电压为  $1.470 \leq (-V_{DET}) \leq 1.530$  的范围内的一点。  
也就是说，既有  $-V_{DET}=1.470$  的产品，也存在  $-V_{DET}=1.530$  的产品。

解除电压是输出切换到High时的电压。此解除电压，即使是同样的产品也有不同程度的差异，由此差异而引起的解除电压的最小值( $+V_{DET}$ )Min.到最大值( $+V_{DET}$ )Max.的范围称为解除电压范围。(参阅图20)。此值可以从各自产品的实际的检测电压( $-V_{DET}$ )中求出，在  $-V_{DET} \times 1.03 \leq +V_{DET} \leq -V_{DET} \times 1.08$  的范围内。

例: S-80815CN的情况下，系列产品全体的解除电压为  $1.514 \leq (+V_{DET}) \leq 1.652$  的范围内的一点。  
也就是说，既有  $+V_{DET}=1.514$  的产品，也存在  $+V_{DET}=1.652$  的产品。

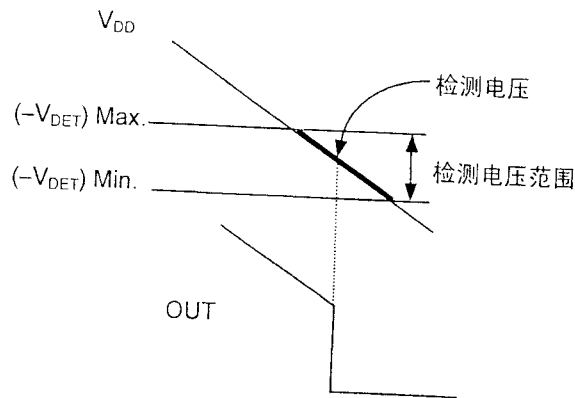


图 19 检测电压(CMOS 输出产品)

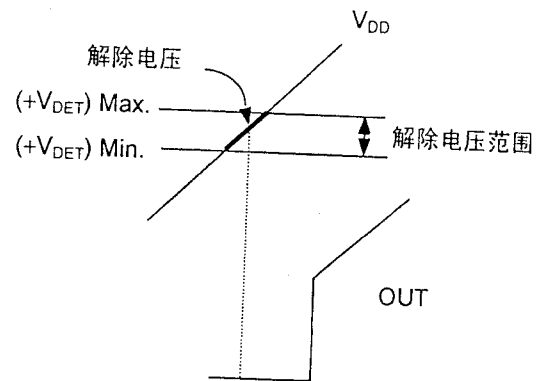


图 20 解除电压(CMOS 输出产品)

备注 检测电压与解除电压在1.514 ~ 1.530 V的范围内会重复, 务必会变为 $(-V_{DET}) < (+V_{DET})$ 。

## 2. 滞后幅度( $V_{HYS}$ )

滞后幅度表示检测电压与解除电压之间的电压差(图16中B点的电压-A点的电压= $V_{HYS}$ )。通过在检测电压与解除电压之间带有滞后幅度, 可以防止在因噪声等侵入输入电压时而产生的误工作。

## 3. 击穿电流

击穿电流是在电压检测器的检测以及解除时瞬间流经的电流。此击穿电流在输出方式为CMOS类型的产品比较大, 在N沟道开路漏极产品中也会稍许流经。

## 4. 振荡

在输入处连接电阻的应用电路中(图21), 例如CMOS输出(动态Low)产品的情况下, 输出Low→High切换时(解除时), 由于流经的击穿电流会发生[击穿电流]×[输入电阻]的份额的电压下降。输入电压降低到检测电压以下时, 输出进行High→Low的切换。输出变为Low时, 因为击穿电流不会流经, 所以没有电压下降份额, 输出Low→High切换时或者击穿电流流经时, 会发生电压下降。此状态的反复发生称为振荡。

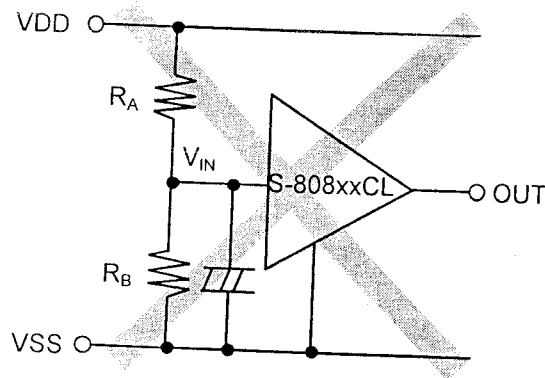


图21 检测电压改变电路不良事例



■ 用户要求规格产品的电气特性

1. S-80824KNUA-D2BT2G、S-80824KNY-x-G

表 18

(除特殊注明以外: Ta = 25 °C)							
项目	记号	条件	最小值	典型值	最大值	单位	测定电路
检测电压 <sup>*1</sup>	-V <sub>DET</sub>	—	2.295	2.400 <sup>*2</sup>	2.505	V	1
解除电压	+V <sub>DET</sub>	—	4.300	4.400	4.500	V	1
消耗电流	I <sub>SS</sub>	V <sub>DD</sub> = 6.0 V	—	0.8	2.4	μA	2
工作电压	V <sub>DD</sub>	—	0.95	—	10.0	V	1
输出电流	I <sub>OUT</sub>	输出晶体管, N沟道, V <sub>DD</sub> = 0.95 V	0.03	0.24	—	mA	3
		V <sub>DS</sub> = 0.5 V	0.23	0.50	—	mA	3
		V <sub>DD</sub> = 1.2 V	—	—	—	—	—
泄漏电流	I <sub>LEAK</sub>	输出晶体管, N沟道, V <sub>DD</sub> = 10.0 V, V <sub>DS</sub> = 10.0 V	—	—	0.1	μA	3
响应时间	t <sub>PLH</sub>	—	—	—	60	μs	1
检测电压的 温度系数 <sup>*3</sup>	$\frac{\Delta - V_{DET}}{\Delta Ta \bullet -V_{DET}}$	Ta = -40 ~ 85 °C	—	±100	±350	ppm/°C	1

\*1. -V<sub>DET</sub>: 实际检测电压值

\*2. 设定检测电压值 (-V<sub>DET(S)</sub>)

\*3. 检测电压的温度变化率[mV/°C]按如下公式计算出来。

$$\frac{\Delta - V_{DET}}{\Delta Ta} [mV/°C]^*1 = -V_{DET(S)}(Typ.) [V]^*2 \times \frac{\Delta - V_{DET}}{\Delta Ta \bullet -V_{DET}} [ppm/°C]^*3 + 1000$$

\*1. 检测电压的温度变化率

\*2. 设定检测电压值

\*3. 上述的检测电压温度系数

## 2. S-80844KLUA-D2AT2G、S-80844KLY-x-G

表 19

(除特殊注明以外: Ta = 25 °C)							
项目	记号	条件	最小值	典型值	最大值	单位	测定电路
检测电压 <sup>*1</sup>	-V <sub>DET</sub>	—	4.295	4.450 <sup>*2</sup>	4.605	V	1
解除电压	+V <sub>DET</sub>	—	—	—	4.700	V	1
消耗电流	I <sub>SS</sub>	V <sub>DD</sub> = 6.0 V	—	1.0	3.0	μA	2
工作电压	V <sub>DD</sub>	—	0.95	—	10.0	V	1
输出电流	I <sub>OUT</sub>	输出晶体管, N沟道, V <sub>DD</sub> = 1.2 V	0.23	0.50	—	mA	3
		V <sub>DS</sub> = 0.5 V, V <sub>DD</sub> = 2.4 V	1.60	3.70	—	mA	3
		输出晶体管, P沟道, V <sub>DD</sub> = 4.8 V	0.36	0.62	—	mA	4
		V <sub>DS</sub> = 0.5 V	—	—	—	—	—
响应时间	t <sub>PLH</sub>	—	—	—	60	μs	1
检测电压的 温度系数 <sup>*3</sup>	$\frac{\Delta - V_{DET}}{\Delta Ta \cdot -V_{DET}}$	Ta = -40 ~ 85 °C	—	±100	±350	ppm/°C	1

\*1. -V<sub>DET</sub>: 实际检测电压值\*2. 设定检测电压值 (-V<sub>DET(S)</sub>)

\*3. 检测电压的温度变化率[mV/°C]按如下公式计算出来。

$$\frac{\Delta - V_{DET}}{\Delta Ta} [mV/°C]^{*1} = -V_{DET(S)}(Typ.) [V]^{*2} \times \frac{\Delta - V_{DET}}{\Delta Ta \cdot -V_{DET}} [ppm/°C]^{*3} \div 1000$$

\*1. 检测电压的温度变化率

\*2. 设定检测电压值

\*3. 上述的检测电压温度系数

3. S-80846KNUA-D2CT2G、S-80846KNY-x-G

表 20

(除特殊注明以外: Ta = 25 °C)

项目	记号	条件	最小值	典型值	最大值	单位	测定电路
检测电压 <sup>*1</sup>	-V <sub>DET</sub>	—	4.500	4.600 <sup>*2</sup>	4.700	V	1
滞后幅度	V <sub>HYS</sub>	—	—	0.05	0.10	V	1
消耗电流	I <sub>SS</sub>	V <sub>DD</sub> = 6.0 V	—	0.9	2.7	μA	2
工作电压	V <sub>DD</sub>	—	0.95	—	10.0	V	1
输出电流	I <sub>OUT</sub>	输出晶体管, V <sub>DD</sub> = 1.2 V	0.59	1.36	—	mA	3
		N沟道, V <sub>DS</sub> = 0.5 V, V <sub>DD</sub> = 2.4 V	2.88	4.98	—	mA	3
泄漏电流	I <sub>LEAK</sub>	输出晶体管, N沟道, V <sub>DD</sub> = 10.0 V, V <sub>DS</sub> = 10.0 V	—	—	0.1	μA	3
响应时间	t <sub>PLH</sub>	—	—	—	60	μs	1
检测电压的温度系数 <sup>*3</sup>	$\frac{\Delta - V_{DET}}{\Delta Ta \cdot -V_{DET}}$	Ta = -40 ~ 85 °C	—	±100	±350	ppm/°C	1

\*1. -V<sub>DET</sub>: 实际检测电压值

\*2. 设定检测电压值 (-V<sub>DET(S)</sub>)

\*3. 检测电压的温度变化率[mV/°C]按如下公式计算出来。

$$\frac{\Delta - V_{DET}}{\Delta Ta} [mV/°C]^{*1} = -V_{DET(S)}(Typ.) [V]^2 \times \frac{\Delta - V_{DET}}{\Delta Ta \cdot -V_{DET}} [ppm/°C]^{*3} \div 1000$$

\*1. 检测电压的温度变化率

\*2. 设定检测电压值

\*3. 上述的检测电压温度系数

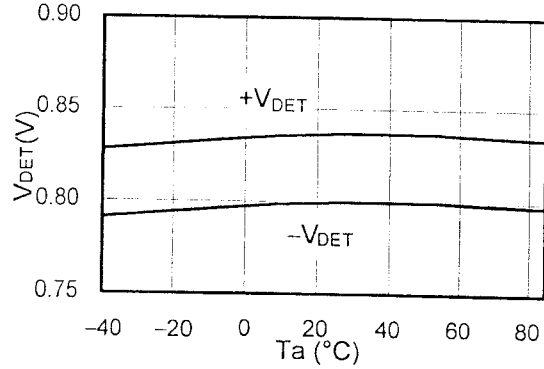
■ 注意事项

- 本 IC 虽内置防静电保护电路, 但请不要对 IC 施加超过保护电路性能的过大静电。
- CMOS 输出产品在检测以及解除时会流经击穿电流。因此, 若输入为高阻抗, 由于解除时的击穿电流而引起的电压降低有导致振荡的情况发生。
- 当在 CMOS 输出产品处连接下拉电阻且电源电压 (V<sub>DD</sub>) 的下降时间在检测电压附近比较缓慢时, 有可能会发生振荡。
- 本资料中所记载的应用电路用于大量生产设计的情况下, 请注意元器件的偏差与温度特性。另外, 有关所记载电路的专利, 本公司概不承担相应责任。
- 使用本公司的 IC 生产产品时, 如在其产品中对该 IC 的使用方法或产品的规格, 或因与所进口国对包括本 IC 产品在内的制品发生专利纠纷时, 本公司概不承担相应责任。

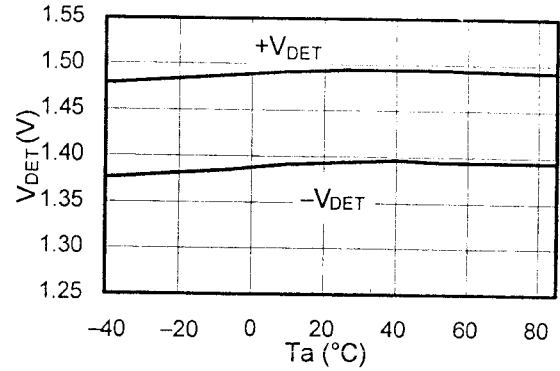
■ 各种特性数据(典型数据)

1. 检测电压( $V_{DET}$ ) - 温度( $T_a$ )

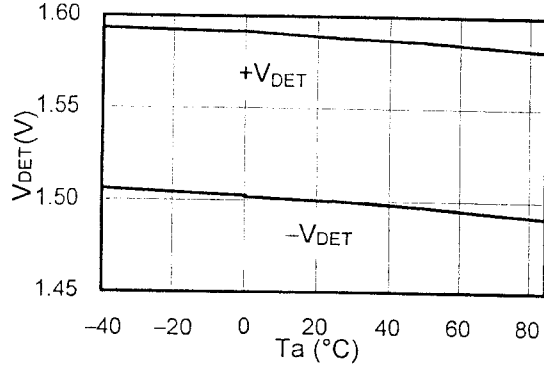
S-80808CL



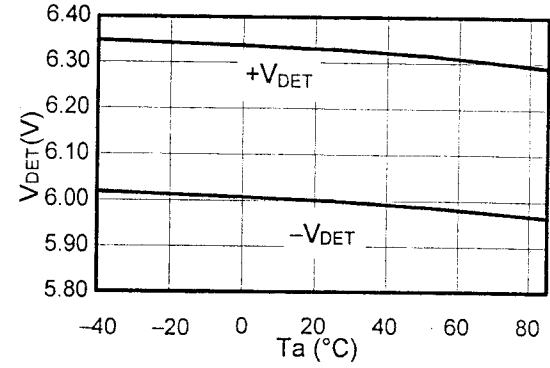
S-80814CL



S-80815CL

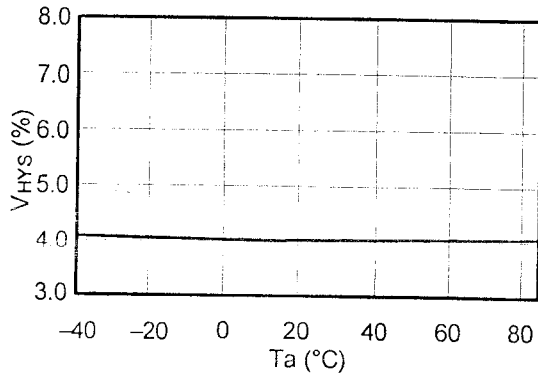


S-80860CL

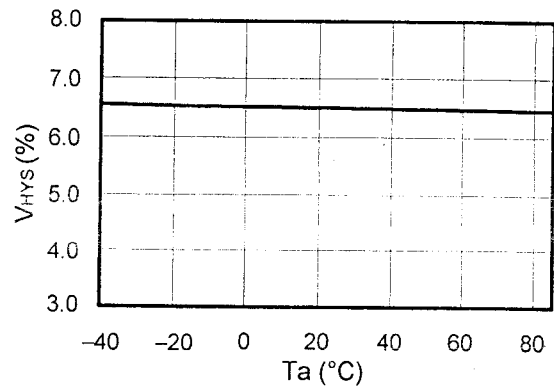


2. 滞后电压幅( $V_{HYS}$ ) - 温度( $T_a$ )

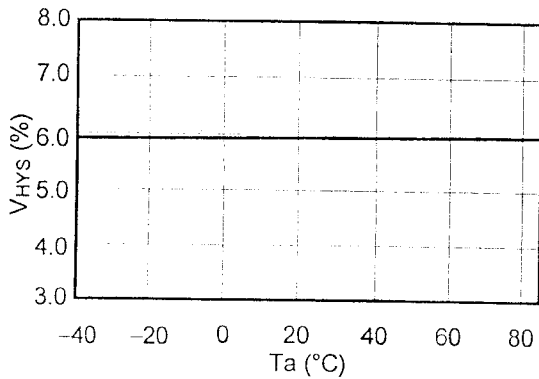
S-80808CL



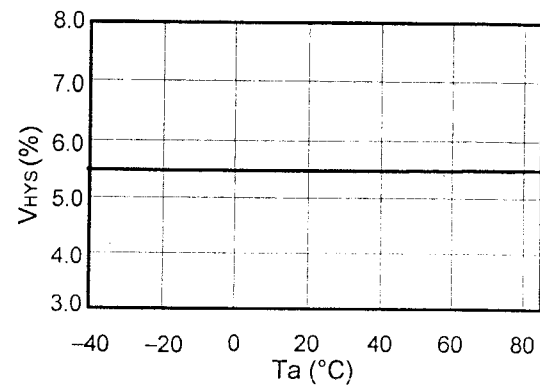
S-80814CL



S-80815CL

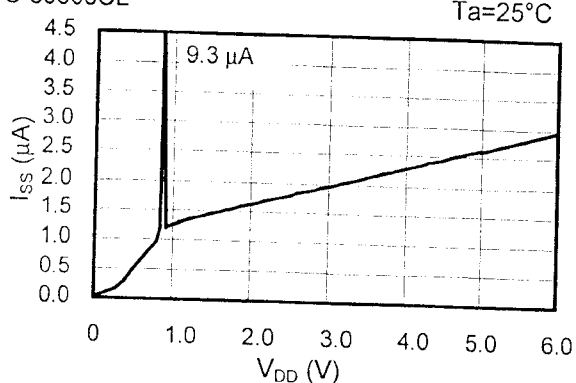


S-80860CL

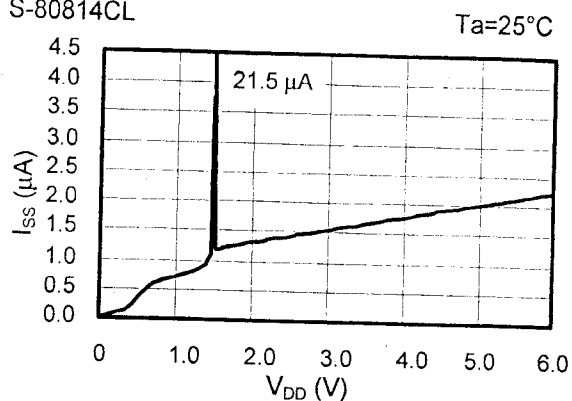


### 3. 消耗电流(I<sub>ss</sub>) - 输入电压(V<sub>DD</sub>)

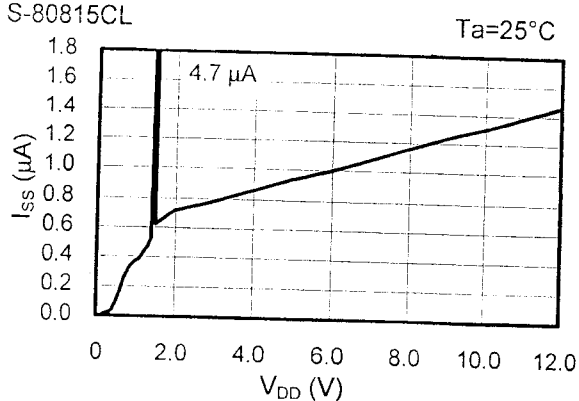
S-80808CL



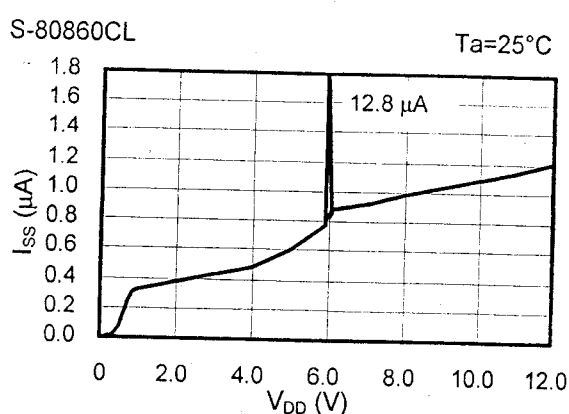
S-80814CL



S-80815CL

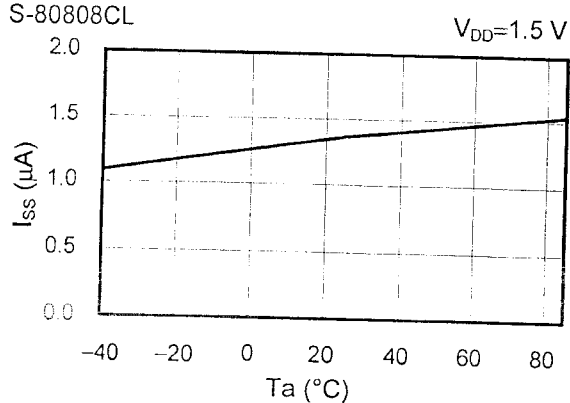


S-80860CL

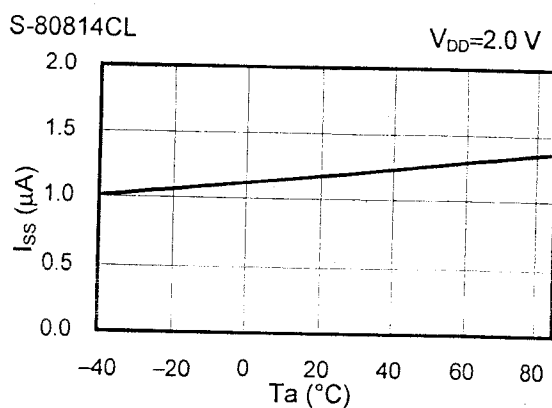


### 4. 消耗电流(I<sub>ss</sub>) - 温度(Ta)

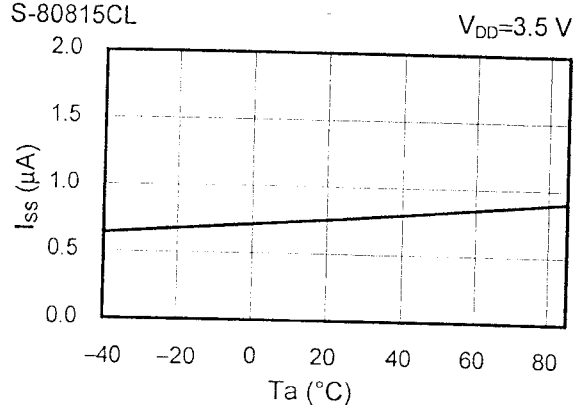
S-80808CL



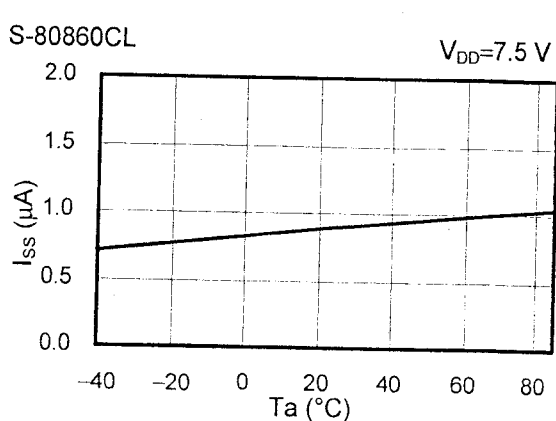
S-80814CL



S-80815CL

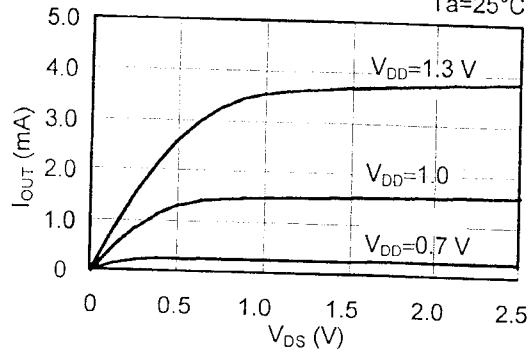


S-80860CL

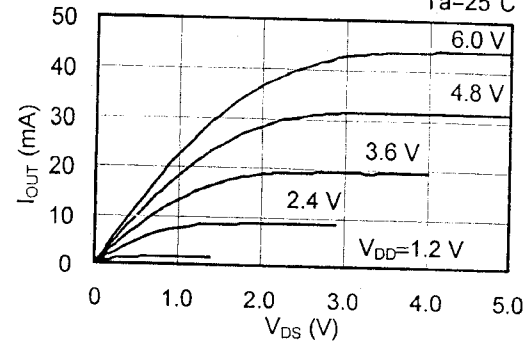


5. N沟道晶体管输出电流( $I_{OUT}$ ) -  $V_{DS}$

S-80814CL/CN

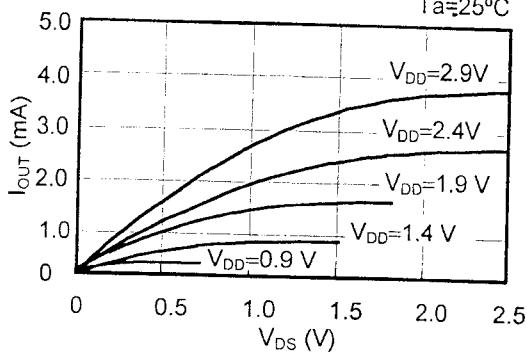


S-80860CL/CN

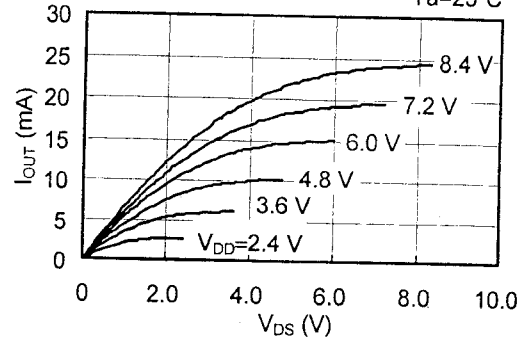


6. P沟道晶体管输出电流( $I_{OUT}$ ) -  $V_{DS}$

S-80808CL

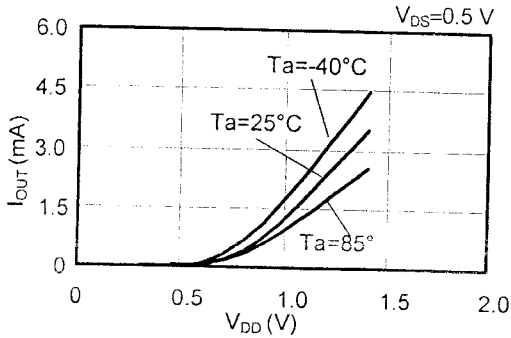


S-80815CL

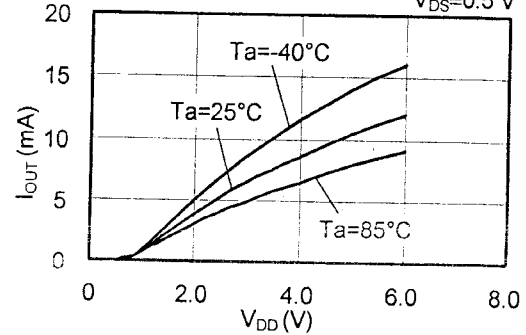


7. N沟道晶体管输出电流( $I_{OUT}$ ) - 输入电压( $V_{DD}$ )

S-80814CL/CN

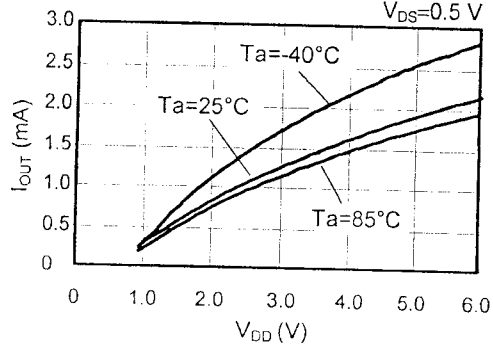


S-80860CL/CN

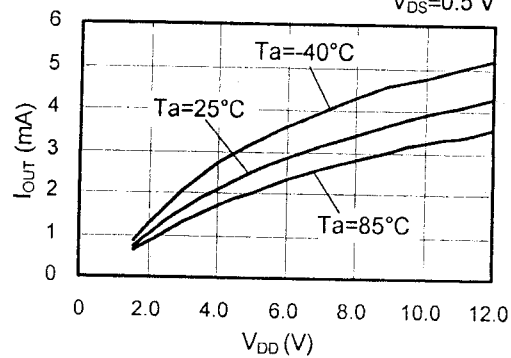


8. P沟道晶体管输出电流( $I_{OUT}$ ) - 输入电压( $V_{DD}$ )

S-80808CL

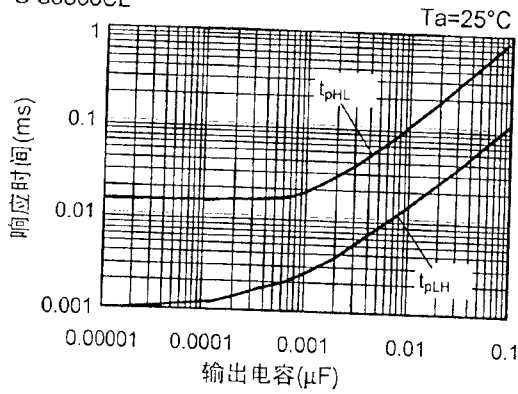


S-80815CL

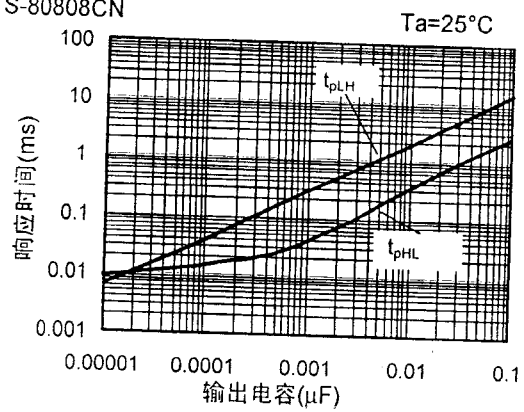


10. 动态响应特性 -  $C_{out}$

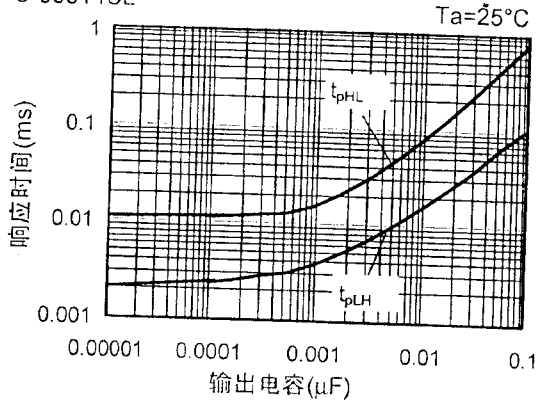
S-80808CL



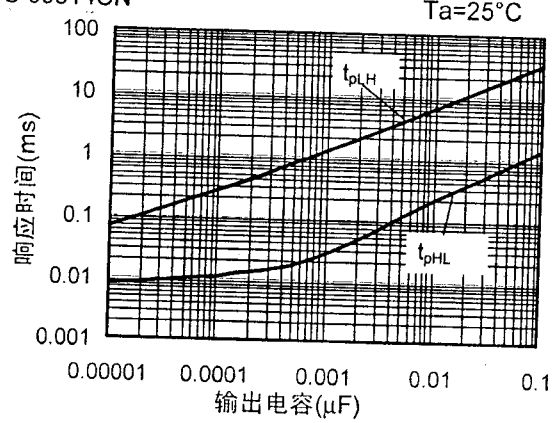
S-80808CN



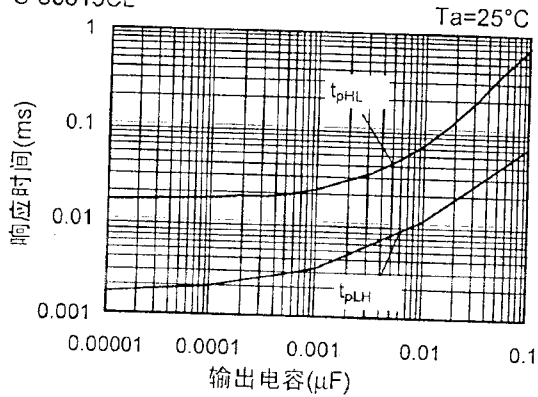
S-80814CL



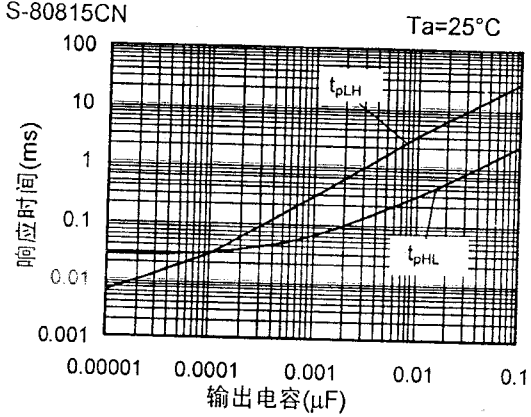
S-80814CN



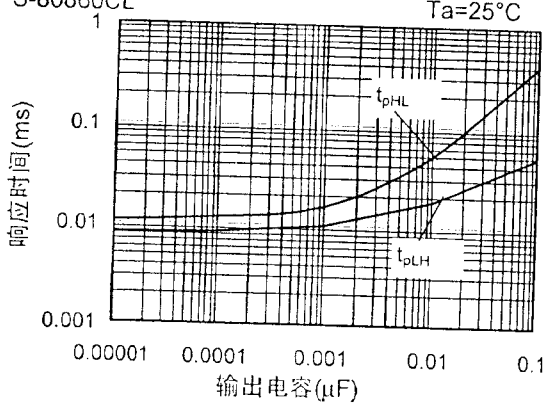
S-80815CL



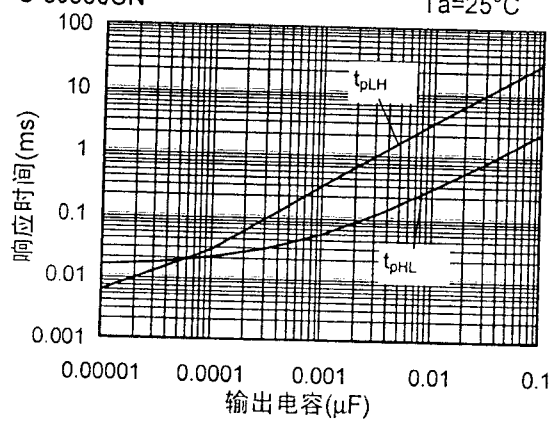
S-80815CN



S-80860CL



S-80860CN



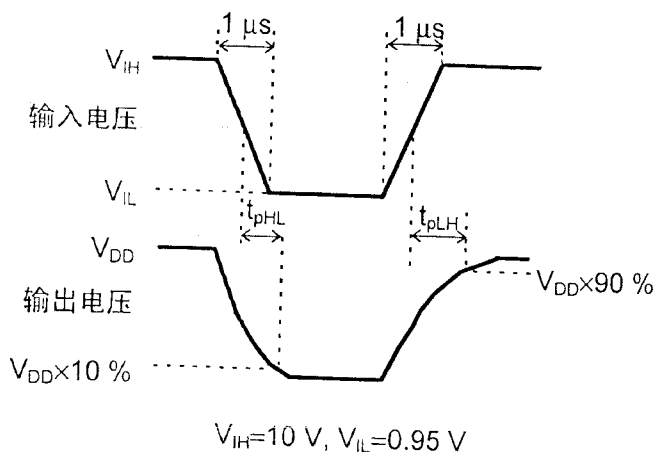
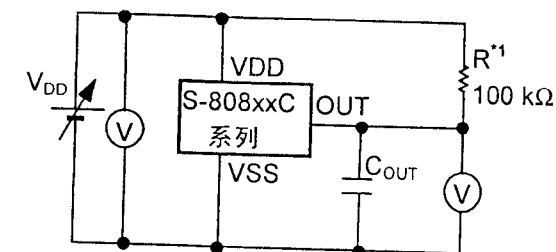


图23 响应时间的测定条件



\*1. CMOS输出产品的情况下不需要R。

图24 响应时间的测定电路

注意 上述连接图以及参数并不作为保证电路工作的依据，实际的应用电路请在进行充分的实测基础上设定参数。

## 应用电路例

### 1. 微机等的复位电路

微机电脑在电源电压比工作保证电压还低的情况下，执行规定以外的程序，会导致破坏存储器·寄存器的内容的情况发生。另外，电源恢复到正常电位时，如果不把微机设定到所定的初期状态，会导致以后的异常工作。为了防止这样的事故，在电源的瞬间切断·瞬间停止时一定要进行复位工作。

S-808xxC系列电压检测器，因为具有工作保证电压低、检测电压精度高、备有滞后并且内置了延迟电路，如图25、26所示，可以简单地构成复位电路。

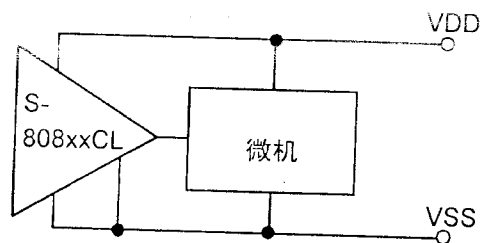
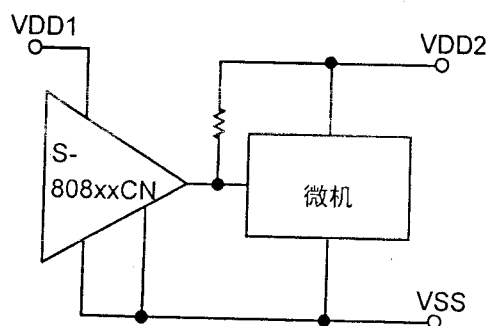


图25 复位电路示例(S-808xxCL)



(但是仅N沟道开路漏极产品)

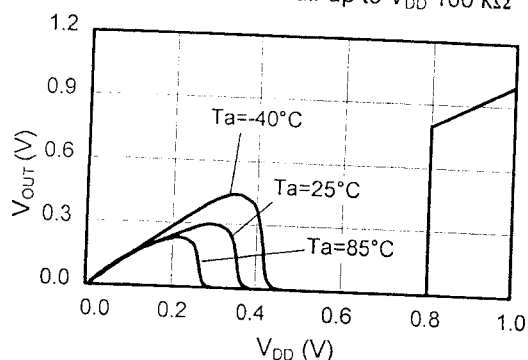
图26 复位电路示例(S-808xxCN)

注意 上述连接图以及参数并不作为保证电路工作的依据，实际的应用电路请在进行充分的实测基础上设定参数。

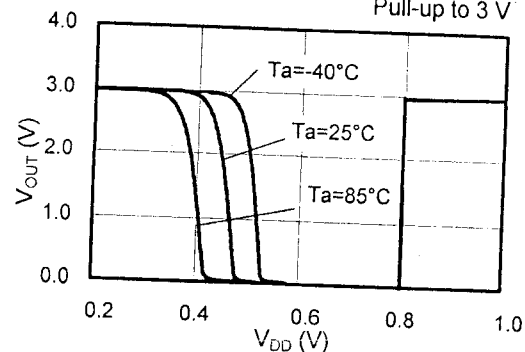


# 9. 最低工作电压 - 输入电压( $V_{DD}$ )

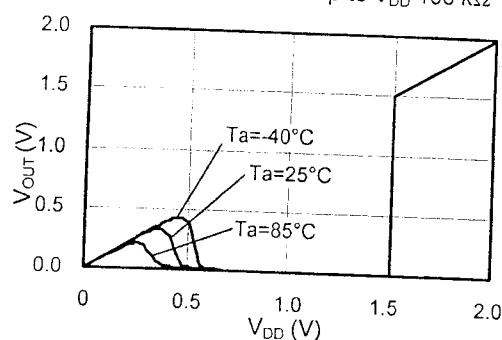
S-80808CN Pull-up to  $V_{DD}$  100 k $\Omega$



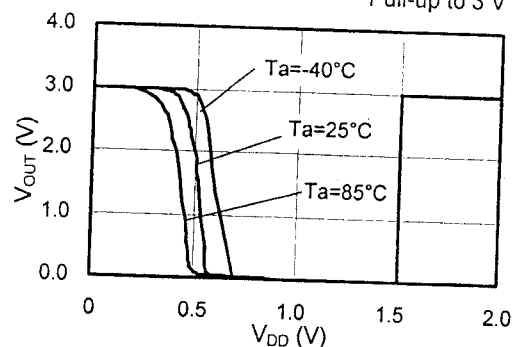
S-80808CN Pull-up to 3 V



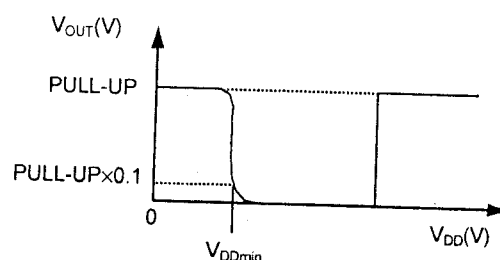
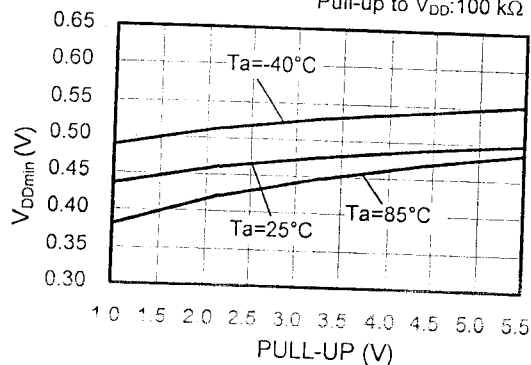
S-80815CN Pull-up to  $V_{DD}$  100 k $\Omega$



S-80815CN Pull-up to 3 V



S-80808CN Pull-up to  $V_{DD}$ : 100 k $\Omega$



备注  $V_{DDmin}$ 是在 $V_{DD}$ 从0 V开始上升时, 如上图所示  $V_{OUT}$ 变为PULL-UP电压的10%以下时的 $V_{DD}$ 电压而定义的。

S-80815CN Pull-up to  $V_{DD}$ : 100 k $\Omega$

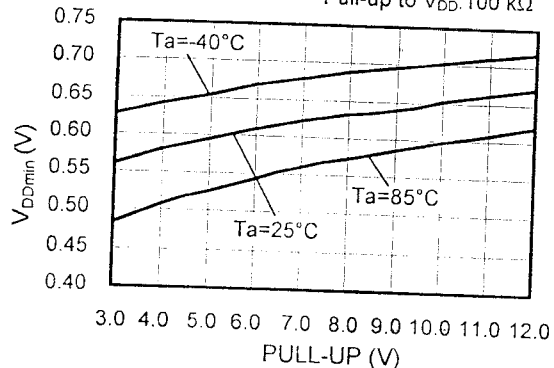


图22